

計算実験1 平成23年度
モンテカルロ法による相転移現象
第4版 (2011年5月2日改訂)

担当教員 石井史之,
ティーチングアシスタント 西田美穂

日程:2011年5月9日(月), 5月16日(月), 5月23日(月)

実験の目的

相転移現象とは、我々が日常生活で目にする「水 \rightleftharpoons 氷」のような温度変化で起こる物質の状態変化のことです。本実験の目的は、磁石の相転移を明らかにするモンテカルロ法による計算実験プログラムの仕組みを理解することです。そして、磁化、磁化率、比熱などの温度変化や磁場変化 (磁気ヒステレシス)、スピン渦の発生について計算実験し、物質内部の秩序状態の変化と物理量の関係について理解することです。また、計算条件を変化させ、様々な条件で計算実験を繰り返しておこない、物理現象の解析経験を多く積むことで計算実験に共通して重要である解析手法や可視化法に習熟することを目的とします。

1 1日目

1.1 相転移とは

水を熱すれば蒸発したり、冷凍庫で水を冷やすと氷ができることは我々の日常生活で目にする最も身近な相転移現象です。磁石である**磁性体**や、コンデンサなどに使われる**誘電体**、医療機器であるMRI(magnetic resonance imaging: 核磁気共鳴画像法)などに使われている**超伝導体**も相転移を示し、温度領域によって異なる性質を示します。物質中の電磁気の法則を考える上で重要な磁性体や誘電体については、電磁気学で学んできましたが、その物性を説明する為にはもっとマイクロ (微視的) に考える必要があり、そこで量子力学や統計力学という学問が必要となってきます。

1.2 磁性体の種類と模型に関する説明

磁石に「くっつく」物と「くっつかない」物があることは皆さんご存知だと思います。不思議だと思いませんか? 磁性体には、**常磁性体**、**反強磁性体**、**強磁性体**などがあります。最後の強磁性体以外は磁石にくっつきません。日本の硬貨が全て磁石に「くっつかない」のは強磁性体ではないからです。また、**強磁性体でも熱すると磁石に「くっつかなく」なります**。磁性体のスピンは量子力学的な自由度ですが、特定の場合は古典近似がよく成り立つことが知られています。スピンを3次元ベクトル \mathbf{S} だとする模型にハイゼンベルグ模型というものがあり、スピン配置 (磁気構造, スピン構造) に対するエネルギーは次のように表現されます。

$$E = -\frac{1}{2} \sum_{ij} J_{ij} \mathbf{S}_i \cdot \mathbf{S}_j \quad (1)$$

i, j は原子位置を表すインデックスで、 J_{ij} は交換相互作用でスピン間の相互作用を表します。二つのベクトルの間の相対角度を θ_{ij} とし、スピンの大きさを S としたとき、

$$E = -\frac{1}{2} \sum_{ij} J_{ij} S^2 \cos \theta_{ij} \quad (2)$$

のように書く事もできます。仮にスピンを古典的に扱ったとしても、その相互作用 J_{ij} は量子力学的な起源を持っていて、物質の違いで強磁性体、反強磁性体などと、その性質が変わる理由の一つになっています。

ただし、以下ではこの交換相互作用は与えられているものとし、その場合の相転移について考察を進めていく事にしましょう。

課題 1

- (1) 式 (1) の和の記号の前に $\frac{1}{2}$ が付くのはなぜか, 説明しよう.
- (2) 2つのスピンを考え, $J_{12} > 0$ のとき, スピンの相対角度はどうなった場合が最も安定ですか?
- (3) 2つのスピンを考え, $J_{12} < 0$ のとき, スピンの相対角度はどうなった場合が最も安定ですか?

最近物質創製の技術の発展により, 低次元の人工ナノ構造磁石が作成されるようになりましたが, 自然に存在する磁性体は3次元の物質です. しかし, 以下では取り扱いが簡単なことから1次元, 2次元のモデルを用いて相転移について考察, 計算機実験をおこなっていきます.

1.3 イジング模型のエネルギー安定性

前節でスピンの3次元ベクトルとするモデルについて説明しましたが, ここではさらに近似を進め, スピンがスカラーとなり, S_i が上向き (+1) と下向き (-1) だけとするイジング模型について説明します. スピン配置 (磁気構造, スピン構造) に対するエネルギーの表式を次に示します.

$$E = -\frac{1}{2} \sum_{ij} J_{ij} S_i S_j \quad (3)$$

ここで, 式 (2) とスピンの大きさ S が同じだとすると, $S^2 \cos \theta_{ij}$ の θ_{ij} が 0 もしくは π しかとらない模型であるということもできます. 次に, スピンが揃っている度合いを示す全磁化を次式で定義します.

$$M = \sum_i S_i \quad (4)$$

これは実際に磁化が大きければ強磁性的であり, 磁化が 0 であれば反強磁性状態もしくは常磁性状態等であり, 強磁性状態では無いことを示しています. $M_s = \sum_i S_i / N$ として, サイト辺りの磁化を求めることもあります. 系の秩序度を計る量である為, **秩序パラメータ** と呼ばれます. 誘電体では**電気分極**が秩序パラメータです (つまり強磁性体に対応する強誘電体があります). 次に1次元上に磁性原子が並んだ分子について, **隣合うスピン間だけに相互作用が働くものと近似**し, さらに $J_{ij} = J_{ji} = 1$, $S = |S_{ij}| = 1$ として, スピンの組合せとエネルギー, 磁化を具体的に示してみよう. ここで**縮退度**とはスピン配置は異なるが, エネルギーが同じである配置の数を示します. 後に説明がありますが, 磁化の期待値を計算する場合は, 磁化の絶対値が異なるものを区別する必要があります.

- $N=2$

$$\{S_1, S_2\} = \{\uparrow, \uparrow\}, \{\uparrow, \downarrow\}, \{\downarrow, \uparrow\}, \{\downarrow, \downarrow\}$$

- 例: $\{\downarrow, \uparrow\}$ の場合

$$(S_1, S_2) = (-1, 1) \text{ である.}$$

$$\text{よって, } E = -\frac{1}{2}(S_1 S_2 + S_2 S_1) = 1$$

$$M = S_1 + S_2 = 0, |M| = 0$$

エネルギー	全磁化の絶対値	縮退度
-1	2	2
1	0	2

- N=3

$$\{S_1, S_2, S_3\} = \{ \uparrow, \uparrow, \uparrow \}, \{ \uparrow, \downarrow, \uparrow \}, \{ \downarrow, \uparrow, \uparrow \}, \{ \downarrow, \downarrow, \uparrow \} \\ \{ \uparrow, \uparrow, \downarrow \}, \{ \uparrow, \downarrow, \downarrow \}, \{ \downarrow, \uparrow, \downarrow \}, \{ \downarrow, \downarrow, \downarrow \}$$

– 例: $\{ \downarrow, \uparrow \downarrow \}$ の場合

$$(S_1, S_2, S_3) = (-1, 1, -1) \text{ である.}$$

一つ隣のスピンの間にのみ相互作用が働くとする、

$$J_{12} = J_{23} = 1, J_{13} = 0,$$

$$\text{よって, } E = -\frac{1}{2}(S_1S_2 + S_2S_1 + S_2S_3 + S_3S_2) = 2$$

$$M = S_1 + S_2 + S_3 = -1, |M| = 1$$

エネルギー	磁化の絶対値	縮退度
-2	3	2
0	1	4
2	1	2

- 1次元の周期境界条件

周期境界条件とは系が1次元系でN個のスピンの秩序がx軸方向へ繰返し並んでいるとすると、 $S_{i+N} = S_i$ という関係式になります。

- 2次元の周期境界条件

1次元系だとx軸方向へ、ある周期Nで磁性原子(スピン)が並んでいたが、2次元系だとさらにy軸方向へもある周期で繰返し同じスピンが並びます。正方格子二次元周期境界条件(正方形の単位で二次元空間を埋め尽くす)の場合、x軸方向へ n_x 分割、y軸方向へ n_y で分割すると、独立なスピンの数は $N = n_x \times n_y$ となります。その為、スピンのインデックスを S_{ij} のように二つ付けた方が便利です。 i はx軸方向のインデックス、 j はy軸方向のインデックスという様にです。その場合、式(3)は次式のようになります。

$$E = -\frac{1}{2} \sum_{ij i' j'} J_{ij, i' j'} S_{i,j} S_{i', j'} \quad (5)$$

以上から2次元での周期境界条件は $n_x \times n_y$ の格子上にスピンがある系だとすると、 $S_{i,j} = S_{i+n_x, j} = S_{i, j+n_y} = S_{i+n_x, j+n_y}$ という関係で表されることとなります。

- 他にも三角格子やカゴメ格子などがあります。調べてみよう。

課題 2

二次元の周期境界条件($N = 4, n_x = 2, n_y = 2$)の場合について、スピンの組合せを全て書き出し、組合せそれぞれについて、エネルギーを計算し、縮退度を求めてみよう。

1.4 イジング模型のモンテカルロ法による計算実験

まずは「習うより慣れろ」(Practice makes perfect)ということでこの実験で使用する計算実験プログラムのテンプレートを動かしてみましょう。プログラム名は `ising0.c` です。可視化の仕方なども下記 URL を参考にしてください。

- 下記の URL よりプログラム `ising0.c` をダウンロードする.

URL: <http://f-ishii.w3.kanazawa-u.ac.jp/ja/index.cgi>

の左のメニューの内容にある「計算実験」のリンクにあるページから.

- コンパイルする.
- 実行してみる.
- `anim_spin.gp` もダウンロードし, Web の記述を参考に `gnuplot` でアニメーションを表示してみる.

上記のことが一通りできたら, プログラム内の下記の部分を変更してみよう. 特に `T_max` (温度) や `J` (交換相互作用) の値を変えてみよう.

```
// Parameters
#define nspin 32
#define J 1.0
#define nmcs 1000
#define border 0
#define H_max 0.0
#define T_max 10.0
#define scale 0.4
```

2 2日目

2.1 モンテカルロ法

ここでモンテカルロ法について説明します。モンテカルロ法 (MC 法) はランダムな数を使った多自由度系のシミュレーションを行う方法です。ここで用いている乱数は正確な乱数ではなく、疑似乱数と呼ばれるもので、乱数が本質的な役割を果たす数値計算法はモンテカルロ法と呼ばれています。この名前はモナコにあるカジノの町 (Monte Carlo) に由来しています。

一般に確率分布 $p_i (i = 1, 2, \dots, N)$ に従う確率変数 A_i の期待値 $\langle A \rangle$ を求めるには

$$\langle A \rangle = \sum_{i=1}^N p_i A_i \quad (6)$$

を計算すれば良いことが知られています。この和を計算機で足し合わせていく場合を考えると、自由度 N が非常に大きいときには計算時間が膨大となります。そこで、状態 i を確率分布 p_i に従って乱数で発生させ、の単純平均をとる方法を考えます。

$$\langle A \rangle_{MC} = \frac{1}{N_{MCS}} \sum_{i=1}^{N_{MCS}} A_i \quad (7)$$

ここで、 $\sum_{i=1}^{N_{MCS}} A_i$ は、 N_{MCS} 個の状態を確率分布 p_i に従って発生させて和をとるという意味です。このような数値計算法がモンテカルロ法と呼ばれています。

補足：統計力学の原理によると、磁性体の場合、式 (6) 中の p_i はあるスピン配置に対応付けられたインデックス i の時、 $\exp(-E_i(S_1, S_2, \dots, S_N)/k_B T)$ に比例することが知られています。このエネルギーと温度を変数とした指数関数を、ボルツマン因子と呼びます。 p_i で表される確率は足し合わせて 1 になる必要があるので、規格化因子である $Z = \sum_i \exp(-E_i(S_1, S_2, \dots, S_N)/k_B T)$ を計算しておいて $p_i = \exp(-E_i(S_1, S_2, \dots, S_N)/k_B T)/Z$ と計算します。 Z を分配関数と呼び、統計力学では大変重要となりますので覚えておきましょう。

- 数え上げ法を用いた期待値の計算

補足に示した内容を用いて、モンテカルロ法の計算をする前に「数え上げ法」を用いて相転移を見てみましょう。前述の Web ページから、プログラム `kazoeage0.c` をダウンロードしましょう。このプログラムは 1 次元で $N=2$ (N はプログラムの `nspin` に対応) の場合について、0.1K 刻みで、10K 以下の温度とエネルギーの期待値出力させるようになっています。

課題 3

(1) 課題 2 で求めたスピンの組合せについて、エネルギーの期待値、磁化の期待値を求め、横軸を温度としてプロットしましょう。分配関数 Z 、エネルギー期待値の部分を変更してみましょう。また、磁化の期待値を計算する関数を加えましょう。

(2) 磁化の絶対値の温度依存性を表示するプログラムを書いて (磁化の絶対値の期待値を計算する関数を付け加える) グラフ表示してみよう。

2.1.1 メトロポリス法

モンテカルロシミュレーションは主に次の 3 種類に区別できます。

モンテカルロ法の分類

1. 直接モンテカルロ法
乱数を使って詳細が決定的でないような複雑な過程のモデルを作る
2. モンテカルロ積分法
乱数を使って積分を計算する方法
3. メトロポリスモンテカルロ法
系の分布の列 (マルコフ連鎖) を生成する

本実験ではメトロポリス法を用いていますので、以降でメトロポリス法について述べます。この方法により、古典多自由度系や量子多自由度系の静的な性質を研究できます。メトロポリス法は 1953 年にメトロポリスらにより考案されました。メトロポリス法の手順は以下の通りです。

メトロポリス法のアルゴリズム

1. 与えられた系に対して、初期状態 (配置) を決める
2. 乱数によって新しい状態を選ぶ
3. 新しい状態のエネルギーと現在の状態のエネルギー差 (δE) を求める
4. $\delta E \leq 0$ なら新しい状態を採用し、2 に戻る
5. $\delta E > 0$ ならボルツマン因子 $\exp(-\frac{\delta E}{k_B T})$ と一様乱数 r を求める。 $r < \exp(-\frac{\delta E}{k_B T})$ なら新しい状態を採用し、2 に戻る。 $r \geq \exp(-\frac{\delta E}{k_B T})$ なら現在の状態のまま 2 に戻る。
6. 2 から 5 の手順を繰り返す。

課題 4

上記のアルゴリズムが `ising0.c` 内のどこに書かれているか、プログラムを読んで確認しておこう。

3 3日目

3.1 現実の物質との対応

ここまで、温度や交換相互作用の単位について特に何も述べてきませんでした。現実の物質について物理量の定量的な議論をする場合、その単位が実験と対応が付くものになっていないとシミュレーションとして意味をなしません。上記までの計算実験で出て来た、ボルツマン定数は $k_B = 8.617343 \times 10^{-5} \text{ eV K}^{-1}$ で与えられます。多くの強磁性体で、交換相互作用は J はエネルギーで表され、10meV のオーダーだと言われています。表に身近な磁性体である、鉄と砂鉄のキュリー温度 (Curie temperature) を示します。

表 1: 代表的な磁石の転移温度

物質	転移温度 T_C (K)	$k_B T_C$ (meV)
鉄 (Fe)	1043	90
砂鉄 (Fe_3O_4)	858	74

課題 5

kazoeage0.c や ising0.c のプログラムでは、プログラム中では k_B は 1 としています。交換相互作用 J の値とその意味について考察し、転移温度 T_C はどのように実験と対応が付くか考えてみよう。

3.2 数え上げ法とモンテカルロ法の対応関係に関する再考

- メトロポリス法について説明したが、幾つかの疑問が残る。例えば、
- モンテカルロ法は式 (6) に対する式 (7) による近似であるが、本当に対応するような結果が得られるのであろうか?
 - N_{MCS} はどのくらいとれば良いのだろうか?

課題 6 ising01.c を用いて、

- 横軸をステップ数として磁化をプロットしてみよう。磁化がステップ数でどう変化するか議論しよう。
- 温度を変化させて、エネルギー、磁化の変化をプロットしてみましょう。
- ising01.c を変更するなどして、課題 3 と同じグラフを描いてみよう。(温度のループ文を書き加えてみよう)

3.3 磁場下のイジング模型

磁場下のイジング模型のエネルギーは次式で表されます。

$$E = -\frac{1}{2} \sum_{ij'j''} J_{ij',j''} S_{i,j} S_{i',j''} - \sum_{ij} S_{i,j} H \quad (8)$$

式 (5) に加えて、磁場 H の項が付け加えられています。これは、磁場と平行の場合にエネルギーが低下する項で、ゼーマン項と呼ばれます。ハイゼンベルグ模型では $\mathbf{S}_{i,j} \cdot \mathbf{H}$ で与えられます。

課題 7

ising01.c を用いて

- (1) 横軸を磁場, 縦軸を磁化としてプロットしてみよう.
- (2) 磁気履歴を書くプログラムへ拡張してみよう.

3.4 エネルギーのステップ数依存性

- 平衡化

この実験では熱平衡状態に興味があるので, 最終的な磁気秩序が初期値に依存してはいけません. その為, 初期値がある程度の値になるまでのサンプルは捨てる必要があります.

3.5 ボルツマン因子の直感的理解

高校で習ったように, 熱運動による単原子分子気体の内部エネルギーは

$$\sum_{i=1}^{nN_A} \frac{1}{2} m v_i^2 = \frac{3}{2} k_B T \quad (9)$$

と与えられ, 分子運動と温度が関係付けられています. つまり, 温度とは分子の運動速度に比例しているのです. 初等的な力学の問題として, お椀の中のボールを考えます. 運動エネルギーが大きければ, 大きな位置エネルギー (ポテンシャルエネルギー) を持ち, お椀の高い位置まで登ることができるでしょう. 分子運動の話に戻ると, 温度が高いと, 原子・分子のポテンシャルエネルギーが高い状態をとることができるようになります. 原子・分子のポテンシャルエネルギーが高い状態とは, 安定な原子間 (結合) 距離よりも長かったり, 短くなったりする状態の事です. (原子間に「ばね」がある, と思うと自然長から伸びたり縮んだりすることに対応します.)

では磁性体, スピン系の場合はどうでしょうか? スピン系のポテンシャルエネルギーが高い状態とはどういう状態でしょうか? 前述のハイゼンベルグ模型やイジング模型のエネルギーの表式 (1), (3) の右辺は全て, ポテンシャルエネルギーだと考えることができます. つまり, 最安定なスピン配置をとる場合が最もポテンシャルエネルギーが小さい, 安定な配置ですが, 温度によって, ポテンシャルエネルギーが高い状態が起こりえます. 温度が高ければ高いほど, ポテンシャルエネルギーは大きな値をとり得ます.

ここで, 少し見方を変えて, 実際にボルツマン因子がその状態 (スピン配置) が実現する確率に比例するとして, 上記のような考え方に沿ったような確率分布になっているのでしょうか. たとえば, 今, $E_1 = -2$ と $E_2 = -1$ という二つのエネルギーの異なるスピン構造があったとします. そのボルツマン因子は $\exp(-E_n/k_B T)$ で与えられるので, それぞれのエネルギーを持つ状態の確率は $p_1 = \exp(2/k_B T)$, $p_2 = \exp(1/k_B T)$ と書くことが出来ます. エネルギーがより安定な状態が出現する確率 p_1 をそれよりエネルギーが高い状態の確率 p_2 で割った関数をプロットしてみましょう. 図 1 にプロットを示します. 高温では p_1 と p_2 はそれほど変わらず, その比は 1 程度ですが, 低温で p_1 の状態が p_2 に比べて急激に大きくなるのが解ります. つまり, 高温では温度によってポテンシャルエネルギーが高い状態をとり得ますが, 低温になるとポテンシャルエネルギーが高い状態は取りにくくなり, 殆どの状態がポテンシャルエネルギーの低い E_2 のエネルギー状態をとることが解ります.

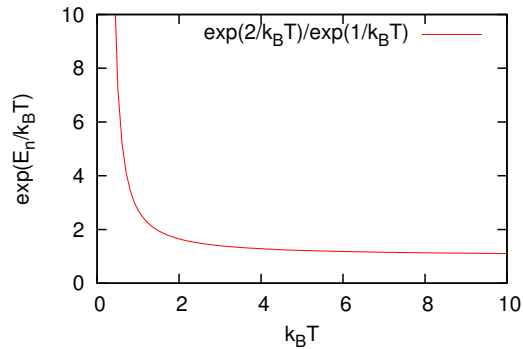


図 1: エネルギー $(E_1, E_2) = (-2, -1)$ のボルツマン因子の比. 低温でよりエネルギーの低い E_1 の確率 (状態数) が大きくなる

3.6 XY 模型のモンテカルロ法による計算実験

これまでスピンの自由度は $+1, -1$ の二種に限られていて, 式 (2) とスピンの大きさ S が同じだとすると, $S^2 \cos \theta_{ij}$ の θ_{ij} が 0 もしくは π しかとらない模型であるということを説明しました. XY 模型では, 任意の θ をとれるようになっています.

$$E = -\frac{1}{2} \sum_{ij'j''} J_{ij,i'j'} \mathbf{S}_{i,j} \cdot \mathbf{S}_{i',j'} \quad (10)$$

ただし, 数値計算ではこの角度を連続的にすればするほど計算の自由度が増えるので, 分割数 P を $4, 8, 16$ などにした模型を考えます.

3.7 二次元磁性体を急冷してみよう

電磁気学で勉強したような磁力線のような振る舞いが磁性体のできる渦に観測されるだろうか? もしくは電気力線の様な分布で, **磁気単極子 (モノポール)** のように見えるかもしれない. 冷却条件やスピンのセルサイズをいろいろ変えてどのような渦ができるか試してみよう.

課題 8

どのようなスピン秩序ができるか, なぜそのようなスピン秩序ができるか説明してみよう.